

火山灰の平均粒径は0.1ミリ以下であった。これら細粒の大山灰は降雨に
より流出され、土砂流の篩分作用によって上流部には比較的粗粒のものが
堆積し、下流部は浮泥の堆積によるもののようにある。しかし今回の氾濫
流砂泥の大部分が直接阿蘇山周辺の堆積火山灰層に起因するものとは簡単
に断じられない。白川沿岸の土砂の崩壊も少くないからである。又、降雨
時以外の流砂量は比較的少く、洪水時に河床に堆積した火山灰土が洞状に
よって局部的に浸蝕、洗掘、流送されているにすぎないようである。昨年
12月初旬行つた黒川での観測でその状況が明らかにされた。これらのこと
は白川の治水対策上十分考慮されなければならないことである。

重力式岸壁の一型式について

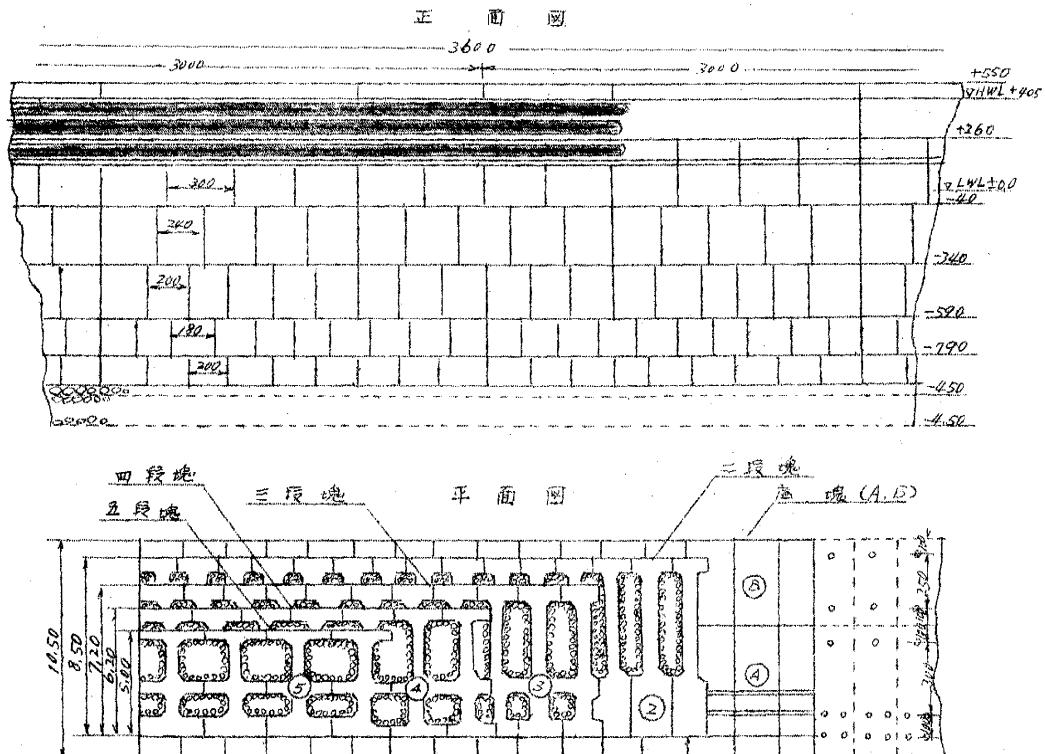
第四港湾 佐田悦二

港湾技術者として岸壁構造の決定は、その都度頭を悩ましている問題で
ある。即ち構造物として安定上且安全工の完璧を期するは勿論であるが、
工事期間、所要資材、施工設備能力、工事用船舶等万般に亘る検討を必要
とするのであるが、A港に於て最善の型式として採用されたものが必ずし
もB港に於ても適用されるとは考へられない。従つて此處に紹介する門司
港田野浦岸壁において採用した王型ブロックによる重力式岸壁についても
他山の石として参考にされたい。

門司港田野浦地区は奥内海峡の東口に当り風向及びフェッチの關係から
他の地区に比して相当強度の風浪を受け、しかも卑躬瀬戸で海峡が狭窄さ
れている關係上高潮等の被害も予想されるので岸壁構造としては重力式岸
壁を採用することに決定した。

型式は工期、施工設備等の点からみてブロック式を採用したのであるが
従来の普通ブロックによる重力式岸壁は日々のブロックの分離性という決

定的欠点をもつてゐるので、この欠点をカバーすべく王型ブロックが考案された。



王型ブロックの特性

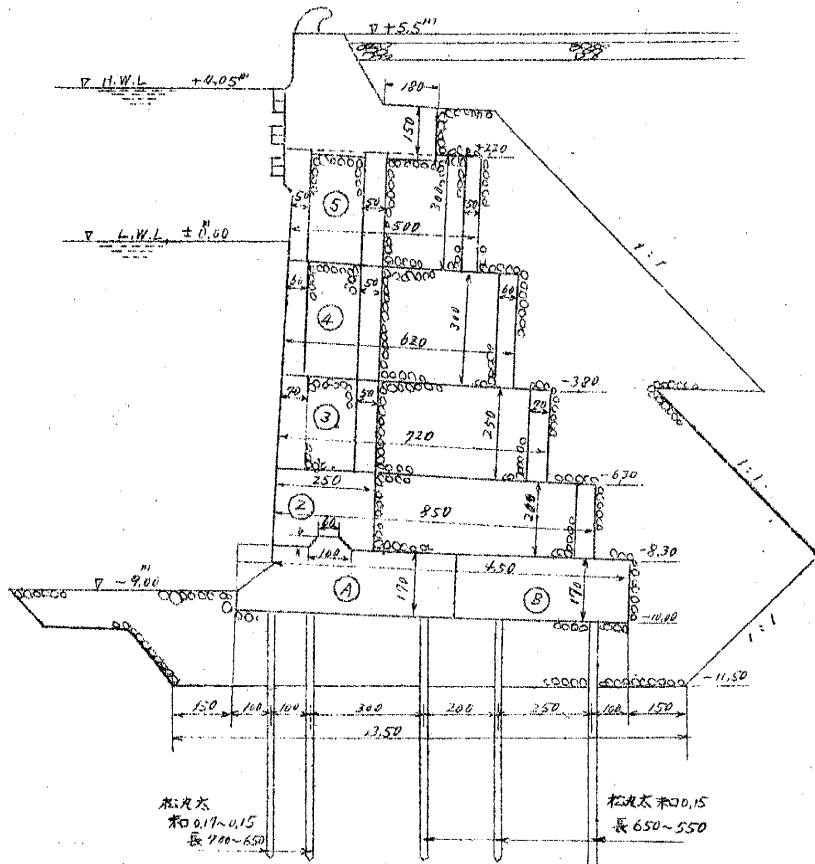
1). 普通ブロック構造の欠点である分離性を除いたこと。

平面図に示す様に二段塊より上のブロックはすべて一本物を用いており、而もブロック間の隙間に雑石を填充することによって、上下、左右のブロック相互間の摩擦係数の増大を計っている。従ってブロックは相互に連結され壁体全体が一体となって外力に対抗出来る。

2). 壁体重量(密度)を軽減し地盤への圧力強度を減じたこと。

壁体総体積の34%が雑石で填充されているので、その重量が普通ブロックの場合に比して13%減となり、従って所要安定度を得るための壁体断面が増加するので壁体底中の総高に対する比が約7割となり。(普通ブロック

断面図



構造の場合は(6割前後)、地盤へ対する単位面積当たり圧力強度を減少することができる。

3)残留水の排水を良好ならしめ、残留水压を軽減できること。

壁体前面はコンクリート壁をなしているが、背後はブロック間に填充した粗石と巣込石とが接続しているので残留水の透水断面が大きくなり排水を良好にしている。従つて設計に当つて他の構造による場合に比して残留水压を下げることができる。

4). 急速施工に適した型式であること。

ブロック製作のためコンクリートの使用量が普通コンクリートの場合に比し約32%減少できるため、ブロックヤード、コンクリートプラント等の施工設備が縮少

できる。ヤードにて一定期間養生後のブロックは一時岸壁法線前後に横転

置し据付とブロック間

の雑石填充と裏込石投

入等がすべて平行的に

進められるので工事を

平面的に連携させてゆ

くことが可能である。

田野浦岸壁の場合 6ヶ

月で本体工事が完了した。

5) 工費が安いこと

普通ブロックの場合に比してコンクリート量が約半量であるので鉄筋コンクリートを使用しても別表の如く工費が約 6% 節減出来る。尚急速施工が可能となるため工期の短縮も経済的にはプラスになっている。

6) その他

王型の岸壁前面の二辺を断面的にみて平行にして柱状をならしめるにより、最も圧力強度のかかる壁体前面を補強していること。

ケーソン構造による場合は主として施工上の問題から壁体としての安定安全上からみて無駄な形状断面を採用せざるを得ない場合があるが、王型ブロック構造の場合は外力に対して合理的な断面を採用出来ること。

1) の壁体の連續性にも関連しているが、上段塊から底塊に及ぶほど順次に小さい中のブロックを使用して(布積み) 据付後の泥下等による上部コンクリートへの影響を最小限に止めようとしていること。

以上種々王型ブロックによる岸壁の特性をあげたが、此の型式は單に田野浦の場合のように大型ブロック(約 50t) を使用した岸壁のみならず漁港その他の小港湾において 15t~20t 程度の起重機船しか利用出来ない場合

工費比較表

	岸壁 1m 当り単価		摘要
	王型ブロック	普通ブロック	
基礎	86,400円	86,400円	
壁体ブロック	386,500	463,300	
填充雑石	27,700	—	均して合む
裏込	41,600	41,600	
船舶機械	188,500	189,400	
その他	53,900	54,700	
計	(A) 784,600	(B) 835,400	

$$(B) - (A) = 50,800\text{円}$$

$$\text{総節減額} = 50,800 \times 170^{(m)} = 8,636,000\text{円}$$

でもこの型式を応用することによつて 30t~40t の普通ブロツクを使用した
と同じ效果をあげることが出来る。

工事功程について（省略）。

剛節橋梁トラスのモーメント解法について

熊本大学 重松 慎

節点 b に剛結する素材

b1,---bc に関する静平

衡条件は任意の bc に於て

材端モーメント M_{bc} と 軸力

N_{bc} (圧縮力を正号とす
る) が作用するとき図を

参照して

$$\sum M_{bc} = 0 \quad \dots \dots \dots (1)$$

$$\sum (Q_{bc} \sin \varphi_{bc} + N_{bc} \cos \varphi_{bc}) - P_{\xi} = 0 \quad \dots \dots \dots (2)$$

$$\sum (Q_{bc} \cos \varphi_{bc} - N_{bc} \sin \varphi_{bc}) + P_{\eta} = 0 \quad \dots \dots \dots (3)$$

$$但し $\ell_{bc} Q_{bc} = -(M_{bc} + M_{cb})$$$

ここに節点の変形を変角 θ と 水平及び垂直方向の各変位 ξ 及び η で示せば

$$M_{bc} = \frac{2EI}{\ell_{bc}} (2\theta_b + \theta_c) + \frac{6EI}{\ell_{bc}^2} \{-(\xi_b - \xi_c) \sin \varphi_{bc} + (\eta_b - \eta_c) \cos \varphi_{bc}\} \quad \dots \dots \dots (4)$$

$$\theta_{bc} = -\frac{6EI}{\ell_{bc}^2} (\theta_b + \theta_c) + \frac{12EI}{\ell_{bc}^3} \{(\xi_b - \xi_c) \sin \varphi_{bc} - (\eta_b - \eta_c) \cos \varphi_{bc}\} \quad \dots \dots \dots (5)$$

$$N_{bc} = \frac{ES}{\ell_{bc}} \{(\xi_b - \xi_c) \cos \varphi_{bc} + (\eta_b - \eta_c) \sin \varphi_{bc}\} \quad \dots \dots \dots (6)$$

上式(1)(2)(3)を連立に解いて 総ての θ, ξ, η を求めるが、この計算に時間が
かかるので式(2),(3)の代りにトラスの鉄結状態に於ける ξ 及び η を解きそれを
式(1)に代入して θ を算出することは二次応力計算法である。然るにこの
場合、素材の弾性迴転理論を適用して各変角 θ_b, θ_c の相應的の數値を代入

